

# توزيع سرعت متوسط عمقی در کانال‌های صاف ذوزنقه‌ای و مستطیلی با بهترین مقطع هیدرولیکی

عبدالرضا کبیری سامانی<sup>۱</sup>

فاطمه فرشی<sup>۲</sup>

(دریافت ۹۰/۱۱/۱۲) پذیرش (۹۱/۴/۶)

## چکیده

رابطه‌های عمومی تخمین توزیع سرعت متوسط عمقی در کانال‌های باز با مقطع ذوزنقه‌ای، نتایج مناسبی ارائه نمی‌کنند. از این‌رو در این مقاله به ارائه روشی جدید برای تخمین این پارامتر در کانال‌های صاف ذوزنقه‌ای با بهترین مقطع هیدرولیکی پرداخته شد. در این روش، توزیع سرعت متوسط عمقی با استفاده از رابطهٔ تنش برشی جداره محاسبه شد. برای واسنجی مدل تحلیلی، از نتایج مدل‌سازی آزمایشگاهی استفاده شد. نتایج حاصل از مقایسه مدل تحلیلی و آزمایشگاهی نشان می‌دهد که روش ارائه شده از دقت قابل قبولی برخوردار است.

**واژه‌های کلیدی:** کانال باز، سرعت متوسط عمقی، تنش برشی جداره

## Depth-averaged Velocity Distribution in Smooth Trapezoidal and Rectangular Open Channels with the Best Hydraulic Section

F. Farshi<sup>1</sup>

A. Kabiri-Samani<sup>2</sup>

(Received Feb. 1, 2012 Accepted June 26, 2012)

### Abstract

General equations for predicting depth-averaged velocity in open channels are not well suited for trapezoidal open channels. In this study, an innovative method is developed for predicting the depth-averaged velocity distributions in smooth trapezoidal open channels with the best hydraulic section. Depth-averaged velocity was obtained using the boundary shear stress obtained in the present study. To calibrate the present analytical results, an experimental investigation was also performed. Analytical results compared well with the experimental data.

**Keywords:** Open Channel, Depth-Averaged Velocity, Boundary Shear Stress.

1. M.Sc Grad. Student of Civil Eng., Isfahan University of Tech., Isfahan

- دانش آموخته کارشناسی ارشد مهندسی عمران، دانشگاه صنعتی اصفهان (نویسنده مسئول)

(Corresponding Author) (+98 311) 3913829 f.farshi@cv.iut.ac.ir

f.farshi@cv.iut.ac.ir

2. Assoc. Prof., Dept. of Civil Eng., Isfahan University of Tech., Isfahan

- دانشیار، دانشکده مهندسی عمران، دانشگاه صنعتی اصفهان

## ۱- مقدمه

تفکیک شود و به طور مشابه برای تخمین میزان تغییرات مسیر کanal و یا میزان فرسایش جداره نیاز به دانستن توزیع تنش جداره است [۵]. تخمین درست و دقیق پارامترهای ذکر شده، منجر به طراحی ایمن کanal ها در برابر فرسایش و تخمین درست ضریب پراکندگی آلودگی می شود [۶]. رابطه مشهور لگاریتمی سرعت، بهوضوح ارتباط تنگاتنگ بین تنش برشی جداره و سرعت طولی در کanal های باز را نشان می دهد [۳]. از این رو، فرشی در سال ۱۳۸۹ و فرشی و همکاران در سال ۱۳۹۰، تنش برشی جداره را به کمک یک مرز فرضی که نقش جداکننده نواحی تحت تأثیر کف و دیواره ها را دارد، به دست آورده اند. این مرز یک سطح با تنش برشی صفر محسوب می شود [۷ و ۸].

تاكون مطالعات تحلیلی و آزمایشگاهی زیادی به منظور تخمین توزیع سرعت متوسط عمقی در کanal های باز ارائه شده است [۹-۱۱]. شیونو و نایت یک مدل تحلیلی به منظور تخمین هم زمان توزیع سرعت متوسط عمقی و تنش برشی جداره در حالت کلی ارائه کردند که کلیه آثار جریان آشفته در کanal های باز را در بر می گرفت [۱۲ و ۱۳]. اروین و همکاران به شیوه ای دیگر، روش شیونو و نایت را به کار گرفتند [۱۴]. از دیگر مدل های تحلیلی می توان به روش مغربی اشاره کرد که در آن، کانتورهای بی بعد سرعت در سطح مقطع داکت ها، کanal های باز و رودخانه های طبیعی نامنظم به دست آمده است [۱۵]. ویلکرسون و مک گاهان دو مدل برای تخمین سرعت متوسط عمقی ارائه کردند. در مدل اول، برای تخمین برخی پارامترها نیاز به اطلاعات میدانی بود که با محدودیت همراه بود. آن ها این محدودیت را در مدل دوم با استفاده از اطلاعات میدانی کanal های عربیض رفع کردند [۱۶]. محققان بسیاری به تکمیل و بررسی روش شیونو و نایت در مقاطع مختلف پرداخته اند [۱۷-۲۰]. همچنین گیوه چی و همکاران به کاربرد سرعت متوسط عمقی در ضریب پخشیدگی آلودگی پرداخته اند [۲۱].

از آنجا که کanal های ذوزنقه ای و مستطیلی، کاربردهای زیادی در طرحهای سیستم های انتقال آب دارند و در عین حال بررسی متانع علمی نشان می دهد که اطلاعات کافی در زمینه توزیع سرعت متوسط عمقی در این کanal ها وجود ندارد و از آنجا که بهترین شکل طراحی در حالت بهترین مقطع هیدرولیکی است، تحقیق حاضر با هدف محاسبه توزیع سرعت متوسط عمقی در جداره صاف کanal های با مقطع ذوزنقه ای با شرایط بهترین مقطع هیدرولیکی انجام شد. برای نیل به این هدف از توزیع تنش برشی استفاده شد [۷]. در محاسبه توزیع تنش برشی به شکل تحلیلی، آثار جریان های ثانویه و تنش های برشی رینولدزی نیز منظور شد. در این روش مقطع کanal با منظور کردن این آثار به وسیله دو مرز فرضی به سه قسمت کف و دیواره ها، تقسیم بندی می شود. با استفاده

توزیع سرعت متوسط عمقی و تنش برشی، از پارامترهای بسیار مهم در مسایل مربوط به کanal های باز و مهندسی رودخانه هستند. در صورت وجود اطلاعات سرعت در سطح مقطع جریان، با جمع سرعت نقاطی که در راستای قائم مشخص (فاصله مشخص از مبدأ) قرار گرفته اند و تقسیم این مجموع بر تعداد نقاط مورد استفاده، می توان سرعت متوسط عمقی در هر نقطه از عرض مقطع را محاسبه نمود. این روش وقتی قابل استفاده است که اطلاعات سرعت نقطه ای در سطح مقطع جریان در دسترس باشد؛ در غیر این صورت باید با روش های تئوریک به تخمین آن مبادرت ورزید. بیان تئوریک توزیع سرعت عرضی در مجرای باز بسیار دشوار است. پارامتر مهم دیگر در کanal های باز، توزیع تنش برشی جداره است. هنگامی که آب در کanal جریان می باید، نیرویی در جهت حرکت آب بر سطح بستر کanal وارد می شود. این نیرو که با نیروی اصطکاک در جریان یکنواخت برابر بوده و در جهت مخالف آن اعمال می شود، به نیروی برشی یا نیروی مالشی معروف است. توزیع تنش برشی جداره از پارامترهای اساسی در پدیده هایی همچون مطالعه ای آشفتگی، حرکت رسوب، تغییر مورفلوژی رودخانه و فرسایش در کanal های باز است و تعیین دقیق آن حتی در حالتهای ساده و خاص نیز بسیار مشکل است. تغییرات تنش برشی در پیرامون تر شده مقاطع کanal های باز و رودخانه ها، غیریکنواخت بوده و مهم ترین عوامل مؤثر بر نحوه و شدت توزیع آن، شکل سطح مقطع مجراء، توزیع زبری بستر و جریان های ثانویه است [۳-۱].

مطالعه ای جریان های ثانویه در کanal های باز، از اهمیت زیادی در علم مهندسی هیدرولیک برخوردار است. این اهمیت به دلیل تأثیر جریان های ثانویه بر پارامترهای مختلف مطرح در هیدرولیک و مهندسی رودخانه همچون سرعت متوسط جریان، توزیع سرعت متوسط عمقی و تنش برشی است. اندازه گیری مستقیم جریان های ثانویه دشوار است، زیرا این جریان ها بردارهایی از جنس سرعت هستند که در صفحه مقطع جریان یا محور عمود بر راستای جریان به وجود می آیند و از نظر مقدار، حدود ۲ تا ۳ درصد سرعت متوسط جریان را تشکیل می دهند. منشأ این جریان ها غیرهمگن بودن آشفتگی سیال است [۳]. از مسائل مهم دیگر در این خصوص می توان به تقسیم بندی مقطع کanal به دو ناحیه تحت تأثیر کف و دیواره ها اشاره کرد. مسئله تفکیک تنش برشی دیواره از کف، در بسیاری از مسایل مربوط به مطالعات جریان در کanal های باز، کاربرد دارد. به عنوان نمونه برای مطالعه توزیع سرعت، نیاز به دانستن توزیع تنش برشی است [۴]. برای محاسبه میزان بارکف در پدیده فرسایش، لازم است که مقدار تنش برشی کف از کل

برای تقسیم‌بندی سطح مقطع کانال‌ها در تحقیق پیشین، از منحنی‌هایی به نام "متعامد"<sup>۱</sup> بهره گرفته شده است [۷ و ۸]. طبق نظر چیو و چیوئو در امتداد این منحنی‌ها، تنش برشی صفر است [۲۴]. بنابراین این منحنی‌ها نیز سطوح تنش برشی صفر محسوب می‌شوند (مانند سطح آب). به این شکل برای محاسبه توزیع تنش برشی می‌توان  $\rho g S_w$  را در المانی ضرب کرد که از یک سو بر جداره عمود است و از سوی دیگر به این منحنی‌ها می‌رسد (تئوری لاندگرن و جانسون). در بین این متعامدها، مهم‌ترین منحنی از گوشی کانال آغاز می‌شود و نقش مهم تفکیک دیواره از کف را بر عهده می‌گیرد. لذا براساس نظریه‌ی لاندگرن و جانسون برای محاسبه‌ی تنش برشی جداره در هر نقطه، می‌توان از المان‌هایی که از یک سمت عمود بر جداره و از سوی دیگر به این منحنی می‌رسند، استفاده کرد.

در تحقیقات قبلی برای پیش‌بینی محل و رابطه دقیق این منحنی به این شکل عمل شده است: ابتدا در یک کانال مستقیم و منشوری صاف ذوزنقه‌ای و یا مستطیلی (حالی خاص از ذوزنقه‌ای)، از ترکیب معادلات پیوستگی و مومنتوم، معادله سومی حاصل می‌شود. از معادله به دست آمده، در شکل دیفرانسیلی روی موز مشخصی که در ابتدا به شکل دلخواه برای منطقه کف منظور شده، انتگرال‌گیری شده است که با اعمال شرایط مرزی، در نهایت تنش برشی متوسط کف یا دیواره به صورت تابعی از  $A_b$  یا  $A_w$  و همچنین ترموماتیکی دیفرانسیلی از جریان‌های ثانویه و تنش‌های برشی محاسبه شده است. در این مرحله دو فرض ساده کننده وارد می‌شوند که چشم‌پوشی از اثر جریان‌های ثانویه و همچنین تنش‌های برشی رینولدزی هستند. بنابراین رابطه‌های تنش برشی متوسط کف و دیواره، در این مرحله فقط توابعی از  $A_b$  یا  $A_w$  هستند. برای محاسبه  $A_b$  و  $A_w$  نیاز است که منحنی متعامد اصلی که از آن نام برده شد (از گوشها شروع و به سطح می‌رسد)، تعیین شود. بنابراین با استفاده از فرضهای ساده کننده گفته شده، رابطه مومنتوم به معادله پواسون تبدیل شد. این معادله برای جریان چرخشی قابل استفاده است و با شیوه‌ای عددی یا روش کاربردی نگاشت هم‌دیسی قابل حل است. بنابراین در تحقیقات قبلی نیز با استفاده از روش نگاشت هم‌دیسی و به طور اخص، تبدیل شوارتر-کریستوفل، این رابطه به شکل غیرمستقیم حل شده است [۷ و ۸]. منظور از حل غیر مستقیم این رابطه، پیداکردن منحنی‌های متعامد است که به کمک آنها بتوان تنش برشی جداره را تخمین زد. بنابراین روی مقطع ذوزنقه‌ای، فرم کلی تبدیل شوارتر-کریستوفل پیاده شد. در این تبدیل دو صفحه فیزیکی و مجازی در نظر گرفته می‌شود و جداره

از سه روش موجود برای تخمین سرعت متوسط در کانال‌ها و همچنین بهره‌گیری از مرزهای نام برد، توزیع سرعت متوسط عمقي به دست آمده و با اطلاعات آزمایشگاهی مقایسه شد.

## ۲- مدل تحلیلی

### ۱-۲- روش تحلیلی

فرشی در سال ۱۳۸۹ و فرشی و همکاران در سال ۱۳۹۰، با فرض یک جریان توسعه‌یافته و یکنواخت در طول یک کانال منشوری با جداره صاف ذوزنقه‌ای، تنش برشی متوسط کف و دیواره را در حالت کلی و توزیع تنش برشی را در کانال‌های ذوزنقه‌ای و مستطیلی با مقطع بهینه محاسبه نموده‌اند [۷ و ۸]. معادلات بنیادین استفاده شده برای محاسبه این پارامترها، پیوستگی و مومنتوم هستند. در مورد کانال‌های مستطیلی، توزیع تنش برشی متوسط کف و دیواره قبل از توسط گو و ژولین به دست آمده است [۵]. در تحقیق حاضر سرعت متوسط عمقي در مقاطع ذکر شده با استفاده از توزیع تنش برشی محاسبه شده در پژوهش فرشی در سال ۱۳۹۰ به سه روش محاسبه شد [۷]. توزیع تنش برشی در یک مقطع را می‌توان بر پایه‌ی تئوری لاندگرن<sup>۱</sup> و جانسون<sup>۲</sup> محاسبه نمود. در این این روش در یک جریان توسعه‌یافته و یکنواخت، تنش برشی در هر نقطه از جداره کانال، از حاصل ضرب  $(\rho g S_w)$  جرم حجمی آب،  $g$  شتاب جاذبه و  $S_w$  شیب کانال) در اندازه المانی که از یک طرف بر جداره عمود بوده و از طرف دیگر به سطح آب می‌رسد، به دست آید. سطح آب در تئوری آن‌ها مرزی با تنش برشی صفر فرض شده است [۲۲].

نظریه اساسی دیگر مربوط به اینشتنین است که سطح مقطع کانال مستطیلی را به دو بخش مساحت مربوط به کف  $A_b$  و دیواره  $A_w$  تقسیم و فرض کرده که وزن قسمت  $A_b$  با مقاومت بستر خنثی می‌شود و وزن قسمت  $A_w$  با مقاومت دیواره به تعادل می‌رسد [۷ و ۸]. همچنین فرض کرده که هیچ نوع اصطکاکی بین دو مرز وجود ندارد. همین فرضیه در مورد انرژی پتانسیل موجود در ناحیه کف و دیواره نیز برقرار است. به عبارت دیگر، انرژی پتانسیل ناحیه کف در بخش مربوط به کف و انرژی پتانسیل ناحیه دیواره در بخش مربوط به دیواره به انرژی جنبشی تبدیل شده و مصرف می‌شوند [۲۳]. بنابراین با استفاده از این تئوری می‌توان توزیع تنش برشی متوسط کف و دیواره کانال‌ها را به طور جداگانه با تقسیم‌بندی سطح مقطع کانال به دو منطقه کف و دیواره محاسبه کرد.

<sup>1</sup>Lundgren  
<sup>2</sup>Jonsson

<sup>3</sup> Orthogonals

جریان‌های ثانویه و تنش‌های برشی رینولدزی، دو ترم وابسته به دو پارامتر در رابطه‌های تنش‌برشی متوسط کف و دیواره معرفی، و با استفاده از شرایط مرزی محاسبه شدند. به این ترتیب توزیع تنش برشی متوسط کف و دیواره در مقاطع ذوزنقه‌ای به طور دقیق محاسبه شد. پس از این مرحله به مقاطع بهینه پرداخته شده است [۷]. در این حالت نسبت عرض به ارتفاع مقطع بهینه در رابطه تنش‌برشی متوسط کف وارد شده و مقدارهای تنش‌برشی متوسط کف و دیواره برای مقاطع بهینه به دست آمد. سپس با یک برنامه‌نویسی کامپیوترا برای یک رابطه انتگرالی که سمت چپ آن مقدار تنش برشی متوسط کف محاسبه شده و در سمت راست آن حاصل جمع انتگرال‌هایی که مقدار تنش‌برشی متوسط را به دست می‌دهند، توزیع تنش‌برشی کف و دیواره برای مقاطع بهینه ذوزنقه‌ای و مستطیلی با جداره صاف به دست آمد [۷].

همان‌طور که توضیح داده شد، توزیع تنش‌برشی کف و یا دیواره در این حالت، در واقع حاصل ضرب  $\rho g S_0$  در المانی است که از یک سو بر کف یا دیواره عمود است و از سوی دیگر به این متعامد می‌رسد. با این شکل، با ثابت در نظر گرفتن  $\rho g S_0$ ، این منحنی‌ها به شکل دقیق برای مقاطع بهینه به دست آمد. خاصیت مهم این منحنی‌ها، جدا کردن منطقه کف از دیواره است که از این خاصیت مهم برای محاسبه توزیع سرعت متوسط عمقی که هدف این تحقیق است، استفاده شد.

رابطه این منحنی برای محاسبه تنش‌برشی کف روی جداره‌ی صاف چند مقطع در شرایط بهینه و برای نیمه سمت راست به شکل زیر ارائه شده است.

$$\theta = 45^\circ \quad \begin{cases} y = 1.207b \\ y = -\frac{29.07}{b^2}z^3 + \frac{18.8}{b}z^2 - 5.222z + 1.223b \\ y = -1.304b \ln\left(\frac{2z}{b}\right) \end{cases}$$

$$\theta = 60^\circ \quad \begin{cases} y = 0.866b \\ y = -\frac{90.9}{b^2}z^3 + \frac{42.3}{b}z^2 - 6.22z + 0.873b \\ y = -0.793b \ln\left(\frac{2z}{b}\right) \end{cases}$$

مقطع در صفحه فیزیکی، به عنوان مسیر حرکت برای نوشتن فرم کلی این تبدیل لحاظ می‌شود. روی این مسیر، نقاط شکستگی، جزء مکان‌هایی هستند که توان‌های فرم دیفرانسیلی تبدیل شوارتز-کریستوفل را معلوم می‌کنند. برای مقطع مستطیلی که متوسط گو و جولین در سال ۲۰۰۵ ارائه شده است، این توان‌ها برابر با  $\frac{1}{5}$ - $\frac{1}{4}$ - $\frac{1}{3}$ - $\frac{1}{2}$ - $\frac{1}{1}$  به دست آمده‌اند. در این حالت انتگرال به صورت کاملاً تحلیلی قابل حل است ولی در حالتهای غیر از مستطیلی (ذوزنقه‌ای)، این توان‌ها برابر با  $\frac{\pi}{4}$ - $\frac{\theta}{4}$ - $\frac{1}{2}$ - $\frac{1}{3}$ - $\frac{1}{4}$ - $\frac{1}{5}$  است ( $\theta$  زاویه‌ی جداره‌ی کانال با افق را تشکیل می‌دهد). هنگامی که از فرم دیفرانسیلی تبدیل شوارتز-کریستوفل در حالتی غیراز  $\frac{1}{5}$ - $\frac{1}{4}$ - $\frac{1}{3}$ - $\frac{1}{2}$ - $\frac{1}{1}$ - $\frac{1}{6}$ - $\frac{1}{7}$ - $\frac{1}{8}$ - $\frac{1}{9}$ - $\frac{1}{10}$ - $\frac{1}{11}$ - $\frac{1}{12}$ - $\frac{1}{13}$ - $\frac{1}{14}$ - $\frac{1}{15}$ - $\frac{1}{16}$ - $\frac{1}{17}$ - $\frac{1}{18}$ - $\frac{1}{19}$ - $\frac{1}{20}$ - $\frac{1}{21}$ - $\frac{1}{22}$ - $\frac{1}{23}$ - $\frac{1}{24}$ - $\frac{1}{25}$ - $\frac{1}{26}$ - $\frac{1}{27}$ - $\frac{1}{28}$ - $\frac{1}{29}$ - $\frac{1}{30}$ - $\frac{1}{31}$ - $\frac{1}{32}$ - $\frac{1}{33}$ - $\frac{1}{34}$ - $\frac{1}{35}$ - $\frac{1}{36}$ - $\frac{1}{37}$ - $\frac{1}{38}$ - $\frac{1}{39}$ - $\frac{1}{40}$ - $\frac{1}{41}$ - $\frac{1}{42}$ - $\frac{1}{43}$ - $\frac{1}{44}$ - $\frac{1}{45}$ - $\frac{1}{46}$ - $\frac{1}{47}$ - $\frac{1}{48}$ - $\frac{1}{49}$ - $\frac{1}{50}$ - $\frac{1}{51}$ - $\frac{1}{52}$ - $\frac{1}{53}$ - $\frac{1}{54}$ - $\frac{1}{55}$ - $\frac{1}{56}$ - $\frac{1}{57}$ - $\frac{1}{58}$ - $\frac{1}{59}$ - $\frac{1}{60}$ - $\frac{1}{61}$ - $\frac{1}{62}$ - $\frac{1}{63}$ - $\frac{1}{64}$ - $\frac{1}{65}$ - $\frac{1}{66}$ - $\frac{1}{67}$ - $\frac{1}{68}$ - $\frac{1}{69}$ - $\frac{1}{70}$ - $\frac{1}{71}$ - $\frac{1}{72}$ - $\frac{1}{73}$ - $\frac{1}{74}$ - $\frac{1}{75}$ - $\frac{1}{76}$ - $\frac{1}{77}$ - $\frac{1}{78}$ - $\frac{1}{79}$ - $\frac{1}{80}$ - $\frac{1}{81}$ - $\frac{1}{82}$ - $\frac{1}{83}$ - $\frac{1}{84}$ - $\frac{1}{85}$ - $\frac{1}{86}$ - $\frac{1}{87}$ - $\frac{1}{88}$ - $\frac{1}{89}$ - $\frac{1}{90}$ - $\frac{1}{91}$ - $\frac{1}{92}$ - $\frac{1}{93}$ - $\frac{1}{94}$ - $\frac{1}{95}$ - $\frac{1}{96}$ - $\frac{1}{97}$ - $\frac{1}{98}$ - $\frac{1}{99}$ - $\frac{1}{100}$ - $\frac{1}{101}$ - $\frac{1}{102}$ - $\frac{1}{103}$ - $\frac{1}{104}$ - $\frac{1}{105}$ - $\frac{1}{106}$ - $\frac{1}{107}$ - $\frac{1}{108}$ - $\frac{1}{109}$ - $\frac{1}{110}$ - $\frac{1}{111}$ - $\frac{1}{112}$ - $\frac{1}{113}$ - $\frac{1}{114}$ - $\frac{1}{115}$ - $\frac{1}{116}$ - $\frac{1}{117}$ - $\frac{1}{118}$ - $\frac{1}{119}$ - $\frac{1}{120}$ - $\frac{1}{121}$ - $\frac{1}{122}$ - $\frac{1}{123}$ - $\frac{1}{124}$ - $\frac{1}{125}$ - $\frac{1}{126}$ - $\frac{1}{127}$ - $\frac{1}{128}$ - $\frac{1}{129}$ - $\frac{1}{130}$ - $\frac{1}{131}$ - $\frac{1}{132}$ - $\frac{1}{133}$ - $\frac{1}{134}$ - $\frac{1}{135}$ - $\frac{1}{136}$ - $\frac{1}{137}$ - $\frac{1}{138}$ - $\frac{1}{139}$ - $\frac{1}{140}$ - $\frac{1}{141}$ - $\frac{1}{142}$ - $\frac{1}{143}$ - $\frac{1}{144}$ - $\frac{1}{145}$ - $\frac{1}{146}$ - $\frac{1}{147}$ - $\frac{1}{148}$ - $\frac{1}{149}$ - $\frac{1}{150}$ - $\frac{1}{151}$ - $\frac{1}{152}$ - $\frac{1}{153}$ - $\frac{1}{154}$ - $\frac{1}{155}$ - $\frac{1}{156}$ - $\frac{1}{157}$ - $\frac{1}{158}$ - $\frac{1}{159}$ - $\frac{1}{160}$ - $\frac{1}{161}$ - $\frac{1}{162}$ - $\frac{1}{163}$ - $\frac{1}{164}$ - $\frac{1}{165}$ - $\frac{1}{166}$ - $\frac{1}{167}$ - $\frac{1}{168}$ - $\frac{1}{169}$ - $\frac{1}{170}$ - $\frac{1}{171}$ - $\frac{1}{172}$ - $\frac{1}{173}$ - $\frac{1}{174}$ - $\frac{1}{175}$ - $\frac{1}{176}$ - $\frac{1}{177}$ - $\frac{1}{178}$ - $\frac{1}{179}$ - $\frac{1}{180}$ - $\frac{1}{181}$ - $\frac{1}{182}$ - $\frac{1}{183}$ - $\frac{1}{184}$ - $\frac{1}{185}$ - $\frac{1}{186}$ - $\frac{1}{187}$ - $\frac{1}{188}$ - $\frac{1}{189}$ - $\frac{1}{190}$ - $\frac{1}{191}$ - $\frac{1}{192}$ - $\frac{1}{193}$ - $\frac{1}{194}$ - $\frac{1}{195}$ - $\frac{1}{196}$ - $\frac{1}{197}$ - $\frac{1}{198}$ - $\frac{1}{199}$ - $\frac{1}{200}$ - $\frac{1}{201}$ - $\frac{1}{202}$ - $\frac{1}{203}$ - $\frac{1}{204}$ - $\frac{1}{205}$ - $\frac{1}{206}$ - $\frac{1}{207}$ - $\frac{1}{208}$ - $\frac{1}{209}$ - $\frac{1}{210}$ - $\frac{1}{211}$ - $\frac{1}{212}$ - $\frac{1}{213}$ - $\frac{1}{214}$ - $\frac{1}{215}$ - $\frac{1}{216}$ - $\frac{1}{217}$ - $\frac{1}{218}$ - $\frac{1}{219}$ - $\frac{1}{220}$ - $\frac{1}{221}$ - $\frac{1}{222}$ - $\frac{1}{223}$ - $\frac{1}{224}$ - $\frac{1}{225}$ - $\frac{1}{226}$ - $\frac{1}{227}$ - $\frac{1}{228}$ - $\frac{1}{229}$ - $\frac{1}{230}$ - $\frac{1}{231}$ - $\frac{1}{232}$ - $\frac{1}{233}$ - $\frac{1}{234}$ - $\frac{1}{235}$ - $\frac{1}{236}$ - $\frac{1}{237}$ - $\frac{1}{238}$ - $\frac{1}{239}$ - $\frac{1}{240}$ - $\frac{1}{241}$ - $\frac{1}{242}$ - $\frac{1}{243}$ - $\frac{1}{244}$ - $\frac{1}{245}$ - $\frac{1}{246}$ - $\frac{1}{247}$ - $\frac{1}{248}$ - $\frac{1}{249}$ - $\frac{1}{250}$ - $\frac{1}{251}$ - $\frac{1}{252}$ - $\frac{1}{253}$ - $\frac{1}{254}$ - $\frac{1}{255}$ - $\frac{1}{256}$ - $\frac{1}{257}$ - $\frac{1}{258}$ - $\frac{1}{259}$ - $\frac{1}{260}$ - $\frac{1}{261}$ - $\frac{1}{262}$ - $\frac{1}{263}$ - $\frac{1}{264}$ - $\frac{1}{265}$ - $\frac{1}{266}$ - $\frac{1}{267}$ - $\frac{1}{268}$ - $\frac{1}{269}$ - $\frac{1}{270}$ - $\frac{1}{271}$ - $\frac{1}{272}$ - $\frac{1}{273}$ - $\frac{1}{274}$ - $\frac{1}{275}$ - $\frac{1}{276}$ - $\frac{1}{277}$ - $\frac{1}{278}$ - $\frac{1}{279}$ - $\frac{1}{280}$ - $\frac{1}{281}$ - $\frac{1}{282}$ - $\frac{1}{283}$ - $\frac{1}{284}$ - $\frac{1}{285}$ - $\frac{1}{286}$ - $\frac{1}{287}$ - $\frac{1}{288}$ - $\frac{1}{289}$ - $\frac{1}{290}$ - $\frac{1}{291}$ - $\frac{1}{292}$ - $\frac{1}{293}$ - $\frac{1}{294}$ - $\frac{1}{295}$ - $\frac{1}{296}$ - $\frac{1}{297}$ - $\frac{1}{298}$ - $\frac{1}{299}$ - $\frac{1}{300}$ - $\frac{1}{301}$ - $\frac{1}{302}$ - $\frac{1}{303}$ - $\frac{1}{304}$ - $\frac{1}{305}$ - $\frac{1}{306}$ - $\frac{1}{307}$ - $\frac{1}{308}$ - $\frac{1}{309}$ - $\frac{1}{310}$ - $\frac{1}{311}$ - $\frac{1}{312}$ - $\frac{1}{313}$ - $\frac{1}{314}$ - $\frac{1}{315}$ - $\frac{1}{316}$ - $\frac{1}{317}$ - $\frac{1}{318}$ - $\frac{1}{319}$ - $\frac{1}{320}$ - $\frac{1}{321}$ - $\frac{1}{322}$ - $\frac{1}{323}$ - $\frac{1}{324}$ - $\frac{1}{325}$ - $\frac{1}{326}$ - $\frac{1}{327}$ - $\frac{1}{328}$ - $\frac{1}{329}$ - $\frac{1}{330}$ - $\frac{1}{331}$ - $\frac{1}{332}$ - $\frac{1}{333}$ - $\frac{1}{334}$ - $\frac{1}{335}$ - $\frac{1}{336}$ - $\frac{1}{337}$ - $\frac{1}{338}$ - $\frac{1}{339}$ - $\frac{1}{340}$ - $\frac{1}{341}$ - $\frac{1}{342}$ - $\frac{1}{343}$ - $\frac{1}{344}$ - $\frac{1}{345}$ - $\frac{1}{346}$ - $\frac{1}{347}$ - $\frac{1}{348}$ - $\frac{1}{349}$ - $\frac{1}{350}$ - $\frac{1}{351}$ - $\frac{1}{352}$ - $\frac{1}{353}$ - $\frac{1}{354}$ - $\frac{1}{355}$ - $\frac{1}{356}$ - $\frac{1}{357}$ - $\frac{1}{358}$ - $\frac{1}{359}$ - $\frac{1}{360}$ - $\frac{1}{361}$ - $\frac{1}{362}$ - $\frac{1}{363}$ - $\frac{1}{364}$ - $\frac{1}{365}$ - $\frac{1}{366}$ - $\frac{1}{367}$ - $\frac{1}{368}$ - $\frac{1}{369}$ - $\frac{1}{370}$ - $\frac{1}{371}$ - $\frac{1}{372}$ - $\frac{1}{373}$ - $\frac{1}{374}$ - $\frac{1}{375}$ - $\frac{1}{376}$ - $\frac{1}{377}$ - $\frac{1}{378}$ - $\frac{1}{379}$ - $\frac{1}{380}$ - $\frac{1}{381}$ - $\frac{1}{382}$ - $\frac{1}{383}$ - $\frac{1}{384}$ - $\frac{1}{385}$ - $\frac{1}{386}$ - $\frac{1}{387}$ - $\frac{1}{388}$ - $\frac{1}{389}$ - $\frac{1}{390}$ - $\frac{1}{391}$ - $\frac{1}{392}$ - $\frac{1}{393}$ - $\frac{1}{394}$ - $\frac{1}{395}$ - $\frac{1}{396}$ - $\frac{1}{397}$ - $\frac{1}{398}$ - $\frac{1}{399}$ - $\frac{1}{400}$ - $\frac{1}{401}$ - $\frac{1}{402}$ - $\frac{1}{403}$ - $\frac{1}{404}$ - $\frac{1}{405}$ - $\frac{1}{406}$ - $\frac{1}{407}$ - $\frac{1}{408}$ - $\frac{1}{409}$ - $\frac{1}{410}$ - $\frac{1}{411}$ - $\frac{1}{412}$ - $\frac{1}{413}$ - $\frac{1}{414}$ - $\frac{1}{415}$ - $\frac{1}{416}$ - $\frac{1}{417}$ - $\frac{1}{418}$ - $\frac{1}{419}$ - $\frac{1}{420}$ - $\frac{1}{421}$ - $\frac{1}{422}$ - $\frac{1}{423}$ - $\frac{1}{424}$ - $\frac{1}{425}$ - $\frac{1}{426}$ - $\frac{1}{427}$ - $\frac{1}{428}$ - $\frac{1}{429}$ - $\frac{1}{430}$ - $\frac{1}{431}$ - $\frac{1}{432}$ - $\frac{1}{433}$ - $\frac{1}{434}$ - $\frac{1}{435}$ - $\frac{1}{436}$ - $\frac{1}{437}$ - $\frac{1}{438}$ - $\frac{1}{439}$ - $\frac{1}{440}$ - $\frac{1}{441}$ - $\frac{1}{442}$ - $\frac{1}{443}$ - $\frac{1}{444}$ - $\frac{1}{445}$ - $\frac{1}{446}$ - $\frac{1}{447}$ - $\frac{1}{448}$ - $\frac{1}{449}$ - $\frac{1}{450}$ - $\frac{1}{451}$ - $\frac{1}{452}$ - $\frac{1}{453}$ - $\frac{1}{454}$ - $\frac{1}{455}$ - $\frac{1}{456}$ - $\frac{1}{457}$ - $\frac{1}{458}$ - $\frac{1}{459}$ - $\frac{1}{460}$ - $\frac{1}{461}$ - $\frac{1}{462}$ - $\frac{1}{463}$ - $\frac{1}{464}$ - $\frac{1}{465}$ - $\frac{1}{466}$ - $\frac{1}{467}$ - $\frac{1}{468}$ - $\frac{1}{469}$ - $\frac{1}{470}$ - $\frac{1}{471}$ - $\frac{1}{472}$ - $\frac{1}{473}$ - $\frac{1}{474}$ - $\frac{1}{475}$ - $\frac{1}{476}$ - $\frac{1}{477}$ - $\frac{1}{478}$ - $\frac{1}{479}$ - $\frac{1}{480}$ - $\frac{1}{481}$ - $\frac{1}{482}$ - $\frac{1}{483}$ - $\frac{1}{484}$ - $\frac{1}{485}$ - $\frac{1}{486}$ - $\frac{1}{487}$ - $\frac{1}{488}$ - $\frac{1}{489}$ - $\frac{1}{490}$ - $\frac{1}{491}$ - $\frac{1}{492}$ - $\frac{1}{493}$ - $\frac{1}{494}$ - $\frac{1}{495}$ - $\frac{1}{496}$ - $\frac{1}{497}$ - $\frac{1}{498}$ - $\frac{1}{499}$ - $\frac{1}{500}$ - $\frac{1}{501}$ - $\frac{1}{502}$ - $\frac{1}{503}$ - $\frac{1}{504}$ - $\frac{1}{505}$ - $\frac{1}{506}$ - $\frac{1}{507}$ - $\frac{1}{508}$ - $\frac{1}{509}$ - $\frac{1}{510}$ - $\frac{1}{511}$ - $\frac{1}{512}$ - $\frac{1}{513}$ - $\frac{1}{514}$ - $\frac{1}{515}$ - $\frac{1}{516}$ - $\frac{1}{517}$ - $\frac{1}{518}$ - $\frac{1}{519}$ - $\frac{1}{520}$ - $\frac{1}{521}$ - $\frac{1}{522}$ - $\frac{1}{523}$ - $\frac{1}{524}$ - $\frac{1}{525}$ - $\frac{1}{526}$ - $\frac{1}{527}$ - $\frac{1}{528}$ - $\frac{1}{529}$ - $\frac{1}{530}$ - $\frac{1}{531}$ - $\frac{1}{532}$ - $\frac{1}{533}$ - $\frac{1}{534}$ - $\frac{1}{535}$ - $\frac{1}{536}$ - $\frac{1}{537}$ - $\frac{1}{538}$ - $\frac{1}{539}$ - $\frac{1}{540}$ - $\frac{1}{541}$ - $\frac{1}{542}$ - $\frac{1}{543}$ - $\frac{1}{544}$ - $\frac{1}{545}$ - $\frac{1}{546}$ - $\frac{1}{547}$ - $\frac{1}{548}$ - $\frac{1}{549}$ - $\frac{1}{550}$ - $\frac{1}{551}$ - $\frac{1}{552}$ - $\frac{1}{553}$ - $\frac{1}{554}$ - $\frac{1}{555}$ - $\frac{1}{556}$ - $\frac{1}{557}$ - $\frac{1}{558}$ - $\frac{1}{559}$ - $\frac{1}{560}$ - $\frac{1}{561}$ - $\frac{1}{562}$ - $\frac{1}{563}$ - $\frac{1}{564}$ - $\frac{1}{565}$ - $\frac{1}{566}$ - $\frac{1}{567}$ - $\frac{1}{568}$ - $\frac{1}{569}$ - $\frac{1}{570}$ - $\frac{1}{571}$ - $\frac{1}{572}$ - $\frac{1}{573}$ - $\frac{1}{574}$ - $\frac{1}{575}$ - $\frac{1}{576}$ - $\frac{1}{577}$ - $\frac{1}{578}$ - $\frac{1}{579}$ - $\frac{1}{580}$ - $\frac{1}{581}$ - $\frac{1}{582}$ - $\frac{1}{583}$ - $\frac{1}{584}$ - $\frac{1}{585}$ - $\frac{1}{586}$ - $\frac{1}{587}$ - $\frac{1}{588}$ - $\frac{1}{589}$ - $\frac{1}{590}$ - $\frac{1}{591}$ - $\frac{1}{592}$ - $\frac{1}{593}$ - $\frac{1}{594}$ - $\frac{1}{595}$ - $\frac{1}{596}$ - $\frac{1}{597}$ - $\frac{1}{598}$ - $\frac{1}{599}$ - $\frac{1}{600}$ - $\frac{1}{601}$ - $\frac{1}{602}$ - $\frac{1}{603}$ - $\frac{1}{604}$ - $\frac{1}{605}$ - $\frac{1}{606}$ - $\frac{1}{607}$ - $\frac{1}{608}$ - $\frac{1}{609}$ - $\frac{1}{610}$ - $\frac{1}{611}$ - $\frac{1}{612}$ - $\frac{1}{613}$ - $\frac{1}{614}$ - $\frac{1}{615}$ - $\frac{1}{616}$ - $\frac{1}{617}$ - $\frac{1}{618}$ - $\frac{1}{619}$ - $\frac{1}{620}$ - $\frac{1}{621}$ - $\frac{1}{622}$ - $\frac{1}{623}$ - $\frac{1}{624}$ - $\frac{1}{625}$ - $\frac{1}{626}$ - $\frac{1}{627}$ - $\frac{1}{628}$ - $\frac{1}{629}$ - $\frac{1}{630}$ - $\frac{1}{631}$ - $\frac{1}{632}$ - $\frac{1}{633}$ - $\frac{1}{634}$ - $\frac{1}{635}$ - $\frac{1}{636}$ - $\frac{1}{637}$ - $\frac{1}{638}$ - $\frac{1}{639}$ - $\frac{1}{640}$ - $\frac{1}{641}$ - $\frac{1}{642}$ - $\frac{1}{643}$ - $\frac{1}{644}$ - $\frac{1}{645}$ - $\frac{1}{646}$ - $\frac{1}{647}$ - $\frac{1}{648}$ - $\frac{1}{649}$ - $\frac{1}{650}$ - $\frac{1}{651}$ - $\frac{1}{652}$ - $\frac{1}{653}$ - $\frac{1}{654}$ - $\frac{1}{655}$ - $\frac{1}{656}$ - $\frac{1}{657}$ - $\frac{1}{658}$ - $\frac{1}{659}$ - $\frac{1}{660}$ - $\frac{1}{661}$ - $\frac{1}{662}$ - $\frac{1}{663}$ - $\frac{1}{664}$ - $\frac{1}{665}$ - $\frac{1}{666}$ - $\frac{1}{667}$ - $\frac{1}{668}$ - $\frac{1}{669}$ - $\frac{1}{670}$ - $\frac{1}{671}$ - $\frac{1}{672}$ - $\frac{1}{673}$ - $\frac{1}{674}$ - $\frac{1}{675}$ - $\frac{1}{676}$ - $\frac{1}{677}$ - $\frac{1}{678}$ - $\frac{1}{679}$ - $\frac{1}{680}$ - $\frac{1}{681}$ - $\frac{1}{682}$ - $\frac{1}{683}$ - $\frac{1}{684}$ - $\frac{1}{685}$ - $\frac{1}{686}$ - $\frac{1}{687}$ - $\frac{1}{688}$ - $\frac{1}{689}$ - $\frac{1}{690}$ - $\frac{1}{691}$ - $\frac{1}{692}$ - $\frac{1}{693}$ - $\frac{1}{694}$ - $\frac{1}{695}$ - $\frac{1}{696}$ - $\frac{1}{697}$ - $\frac{1}{698}$ - $\frac{1}{699}$ - $\frac{1}{700}$ - $\frac{1}{701}$ - $\frac{1}{702}$ - $\frac{1}{703}$ - $\frac{1}{704}$ - $\frac{1}{705}$ - $\frac{1}{706}$ - $\frac{1}{707}$ - $\frac{1}{708}$ - $\frac{1}{709}$ - $\frac{1}{710}$ - $\frac{1}{711}$ - $\frac{1}{712}$ - $\frac{1}{713}$ - $\frac{1}{714}$ - $\frac{1}{715}$ - $\frac{1}{716}$ - $\frac{1}{717}$ - $\frac{1}{718}$ - $\frac{1}{719}$ - $\frac{1}{720}$ - $\frac{1}{721}$ - $\frac{1}{722}$ - $\frac{1}{723}$ - $\frac{1}{724}$ - $\frac{1}{725}$ - $\frac{1}{726}$ - $\frac{1}{727}$ - $\frac{1}{728}$ - $\frac{1}{729}$ - $\frac{1}{730}$ - $\frac{1}{731}$ - $\frac{1}{732}$ - $\frac{1}{733}$ - $\frac{1}{734}$ - $\frac{1}{735}$ - $\frac{1}{736}$ - $\frac{1}{737}$ - $\frac{1}{738}$ - $\frac{1}{739}$ - $\frac{1}{740}$ - $\frac{1}{741}$ - $\frac{1}{742}$ - $\frac{1}{743}$ - $\frac{1}{744}$ - $\frac{1}{745}$ - $\frac{1}{746}$ - $\frac{1}{747}$ -<

$$\theta = 75^\circ \begin{cases} y = -\frac{43.7}{b^2}z^3 + \frac{18.9}{b}z^2 - 3.11z + 0.652b & 0 < z \leq 0.256b \\ y = -0.542b \ln\left(\frac{2z}{b}\right) & 0.256b < z \leq \frac{b}{2} \end{cases} \quad (3)$$

$$\theta = 90^\circ \begin{cases} y = \frac{18.7}{b^2}z^3 - \frac{13.9}{b}z^2 + 2.08z + 0.338b & 0 < z < 0.26b \\ y = -\frac{b}{\pi} \ln \tan\left(\frac{\pi z}{2b}\right) & 0.26b \leq z \leq \frac{b}{2} \end{cases} \quad (4)$$

که در این روابط

$m$  کتانژانت زاویه‌ی  $\theta$ ,  $b$  عرض در کف کanal,  $z$  مختصات عرضی مقطع با مرکز مختصات در محل محور تقارن و  $y$  محور مختصات عمود بر  $z$  است که از کف آغاز می‌گردد (پارامترهای مختلف این رابطه‌ها، در شکل ۱ نیز معرفی شده است). لازم به ذکر است که برای محاسبه تنش برشی دیواره، از انتقال و

$$\theta = 45^\circ \begin{cases} y'_1 = \frac{1.184}{b}z'^2 + 1.795z' & 0 \leq z'_1 \leq 0.175b \\ y'_1 = \frac{31.216}{b^2}z'^3 - \frac{29.471}{b}z'^2 + 11.038z'_1 - 0.8465b & 0.175b < z'_1 \leq 0.5b \\ y'_1 = -z'_1 + 1.707b & 0.5b < z'_1 \leq 1.707b \end{cases} \quad (5)$$

$$\theta = 60^\circ \begin{cases} y'_1 = \frac{0.703}{b}z'^2 + 1.173z'_1 & 0 \leq z'_1 \leq 0.325b \\ y'_1 = \frac{165.5}{b^2}z'^3 - \frac{196.67}{b}z'^2 + 78.977z'_1 - 10.118b & 0.325b < z'_1 \leq 0.5b \\ y'_1 = \sqrt{3}(b - z'_1) & 0.5b < z'_1 \leq b \end{cases} \quad (6)$$

$$\theta = 75^\circ \begin{cases} y'_1 = \frac{-1.298}{b}z'^2 + 1.51z' & 0 < z'_1 \leq 0.286b \\ y'_1 = \frac{1702.7}{b^3}z'^4 - \frac{2734.2}{b^2}z'^3 + \frac{1621.9}{b}z'^2 - 419.2z'_1 \\ + 40.155b & 0.286b < z'_1 \leq 0.5b \\ y'_1 = 3.73(-z'_1 + 0.675b) & 0.5b < z'_1 \leq 0.675b \end{cases} \quad (7)$$

$$\theta = 90^\circ \begin{cases} y'_1 = \frac{-0.537}{b}z'^2 + 1.043z'_1 & 0 \leq z'_1 \leq 0.338b \\ y'_1 = \frac{403.62}{b^2}z'^3 - \frac{448.14}{b}z'^2 + \\ 167.12z'_1 - 20.587b & 0.338b < z'_1 \leq 0.426b \\ y'_1 = 0.5b & 0.426b < z'_1 \leq 0.5b \end{cases} \quad (8)$$

که در روابط بالا

$z'$  و  $y'_1$  به ترتیب معرف محورهای جدید حاصل از انتقال و دوران محورهای  $z$  و  $y$  هستند.

شود، و پس از آن رابطه این سرعتها در در فاصله نسبت به مختصات هندسی جداره تعیین شود، توزیع سرعت متوسط عمقی در هر مقطع به دست می‌آید. برای محاسبه سرعت متوسط عمقی در فواصل مشخص از مبدأ، از رابطه ۹ استفاده می‌شود؛ به این شکل که با داشتن توزیع تنش‌برشی یک مقطع، در مختصات‌های مختلف جداره کانال می‌توان سرعت متوسط عمقی را محاسبه نمود. توضیح اینکه در رابطه ۹، سرعت برشی از توزیع تنش‌برشی جداره محاسبه می‌شود و بسته به اینکه در ناحیه کف و یا دیواره واقع شود، از رابطه مخصوص به کف یا دیواره بهره‌گیری می‌شود.

توزیع تنش‌برشی کف و دیواره برای مقاطع بهینه نامبرده، به دست آمد. در هر فاصله مشخص از مبدأ و در هر سه روش نامبرده، روند محاسبه توزیع سرعت متوسط عمقی به این شکل بود که اگر نقطه مورد نظر برای تعیین سرعت، با توجه به رابطه مرز جدکننده، در ناحیه کف واقع می‌شد،  $u_w$  عمود بر دیواره منظور می‌شد و بسته به قرارگیری در هر ناحیه، از رابطه مربوط به آن (کف یا دیواره)، تنش‌برشی و به تبع آن سرعت‌برشی تعیین می‌شد. حال به تشریح هر سه روش در بهکارگیری روند بالا پرداخته می‌شود. در روش اول، همان‌طور که توضیح داده شد، از رابطه ۹ روی عمق انتگرال‌گیری می‌شود. ثابت شده که فرم ساده شده این انتگرال به شکل زیر است [۲۵]

$$U_d = u_{max} - 3.75u_* \quad (10)$$

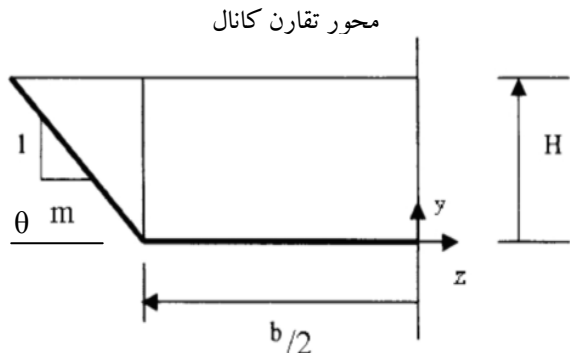
که در این رابطه

$U_d$  سرعت متوسط عمقی در هر مقطع دلخواه نسبت به خط تقارن است و  $u_{max}$  سرعت بیشینه در مقطع مورد نظر است. بنابراین در روش اول نیاز است از نقطه‌ای استفاده شود که در آن سرعت بیشینه در آن ناحیه قرار می‌گیرد و بنابراین  $u_w$  با توجه به آن تعیین می‌شود. براساس رابطه لگاریتمی سرعت (رابطه ۹)، سرعت بیشینه در هر فاصله مشخص از مبدأ، از سرعت‌برشی که  $y$  آن بیشینه است به دست می‌آید. لازم به ذکر است که طبق آزمایش‌های تامیناگا و همکاران، پدیده‌ی پایین افتادگی سرعت در مقاطع ذوزنقه‌ای روی محور تقارن مقطع اتفاق نمی‌افتد [۳]. اما برای تعیین میزان پایین افتادگی موقعیت سرعت بیشینه روی محور تقارن مقاطع مستطیلی از رابطه‌ی یانگ و همکاران استفاده می‌شود [۲۶]

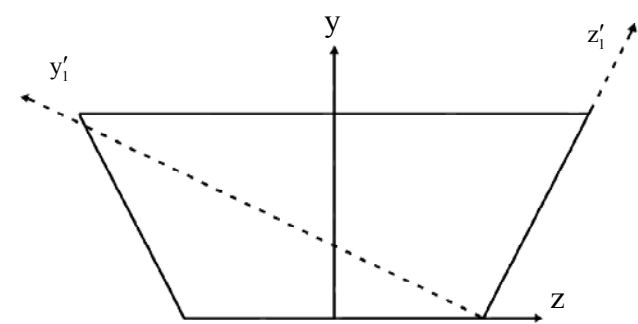
$$\frac{\delta}{H} = \frac{1}{1 + \alpha} \quad (11)$$

که در این رابطه

$\delta$  مختصات  $y$  برای سرعت بیشینه و  $\alpha$  فاکتوری برابر با  $1/2\exp(-z/H)$  است به شرطی که مرکز مختصات در گوش سمت چپ مقطع واقع شده باشد. بنابراین برای محور تقارن یک مقطع



شکل ۱- پارامترهای مختلف مقاطع ذوزنقه‌ای



شکل ۲- پارامترهای مختلف مقاطع ذوزنقه‌ای برای دیواره

## ۲-۲- سرعت متوسط عمقی

رابطه‌ی متداولی که در کانال‌های صاف، تنش‌برشی جداره را به سرعت‌های نقطه‌ای مرتبط می‌کند، به صورت زیر است [۳]

$$\frac{u}{u_*} = 5.75 \log \left( \frac{u_* y_w}{v} \right) + B \quad (9)$$

که در این رابطه

$u / u_* = \sqrt{\tau_0 / \rho}$  سرعت برشی ( $\tau_0$  تنش‌برشی جداره)،  $y_w$  برای کف برابر با  $y$  و برای دیواره برابر با  $y'$  است،  $v$  سرعت طولی کanal،  $B$  لزجت سینماتیکی آب و  $B$  یک مقدار ثابت برابر با  $5/5$  برای کانال‌های با  $H/b \leq 0.5$  و  $5/3$  برای کانال‌های با  $H/b > 0.5$  است [۱]. برای محاسبه سرعت متوسط عمقی در یک مقطع مشخص با فاصله معلوم از محور تقارن، سه روش مختلف وجود دارد: در روش اول از رابطه ۹ در عمق، انتگرال‌گیری می‌شود. در روش دوم، مقدار متوسط سرعت‌های نقطه‌ای در عمقهای  $H/2$  و  $H/4$  در هر مقطع محاسبه می‌شود و در روش سوم، سرعت‌های نقطه‌ای  $0.6H$  در هر مقطع برای توزیع سرعت متوسط عمقی در کل مقطع منظور می‌شود. بنابراین برای محاسبه سرعت متوسط عمقی در یک مقطع مشخص، اگر به هر سه روشی که توضیح داده شد، سرعت متوسط عمقی در هر فاصله مشخص از مبدأ محاسبه

و با توجه به اینکه همه از رابطه ۹ استفاده کرده‌اند، شکل نهایی مربوط به توزیع سرعت متوسط عمقی نیز در هر سه روش با فرمی کلی از رابطه ۹ به دست می‌آید با این تفاوت که در هر مقطع، دو پارامتر  $F_1$  و  $F_2$  معرفی شده‌اند که نقشان، بیان رابطه‌ی  $U_d$  با مختصات  $z$  مقطع است. در این تحقیق فرم کلی توزیع سرعت متوسط عمقی با سه روش شرح داده شده، به شکل زیر به دست می‌آید.

$$\frac{U_d}{\sqrt{bgS_0}} = \left[ F_1 + F_2 \ln \left( \frac{b^{3/2} \sqrt{gS_0}}{v} \right) \right] \quad (12)$$

که در این رابطه

$U_d$  سرعت متوسط عمقی و  $F_1$  و  $F_2$  به صورت تابعی چندجمله‌ای از  $z/b$  هستند. این پارامترها به شکل رابطه‌های ۱۳ و ۱۴ برای مقاطع ذوزنقه‌ای و رابطه‌های ۱۵ و ۱۶ برای مقاطع مستطیلی به دست می‌آیند. ثابت‌های مربوط به این پارامترها در جدول‌های ۱ تا ۸ مرتب شده است.

بهینه مستطیلی، این فاکتور برابر با  $0/676H$  یا  $0/338b$  به دست می‌آید.

در روش دوم، در هر فاصله مشخص از مبدأ، نقاطی برای محاسبه  $u^*$  در نظر گرفته می‌شوند که در اعماق  $0/2H$  و  $0/8H$  واقع شده‌اند. بنابراین در برخی از فواصل، هردو نقطه در یک ناحیه و در برخی دیگر در دو ناحیه واقع شده‌اند. در نهایت برای هر فاصله مشخص از مبدأ، از مقدار سرعت‌های به دست آمده میانگین‌گیری می‌شود. روش سوم مشابه روش دوم است با این تفاوت که در هر فاصله مشخص از مبدأ، تنها از یک نقطه در موقعیت  $0/6H$  استفاده می‌شود که این نقطه می‌تواند در ناحیه کف و یا دیواره قرار گیرد.

برای هر سه روش، در محیط نرم‌افزار Mathematica برنامه‌ای نوشته شده است که با توجه به نوع روش، سرعت هر نقطه تعیین می‌شود. در روش اول و سوم، سرعت تعیین شده در هر مختصات، توسط برنامه به عنوان سرعت آن مختصات خاص در نظر گرفته می‌شود ولی در روش دوم، از سرعت‌های محاسبه شده در هر مختصات، میانگین‌گیری شده و به عنوان سرعت آن مختصات منظور شده است. پس از آن، در هر روش، سرعت‌های متوسط عمقی محاسبه شده نسبت به مختصات‌شان، در ماتریس‌هایی مرتب شده‌اند

$$F_1 = \begin{cases} A_{11} \left( \frac{z}{b} \right)^4 + B_{11} \left( \frac{z}{b} \right)^3 + C_{11} \left( \frac{z}{b} \right)^2 + D_{11} \left( \frac{z}{b} \right) + E_{11} & 0 \leq z \leq 0.5b \\ A_{12} \left( \frac{z}{b} \right)^5 + B_{12} \left( \frac{z}{b} \right)^4 + C_{12} \left( \frac{z}{b} \right)^3 + D_{12} \left( \frac{z}{b} \right)^2 + E_{12} \left( \frac{z}{b} \right) + F_{12} & 0.5b < z \leq b \end{cases} \quad (13)$$

$$F_2 = \begin{cases} A_{21} \left( \frac{z}{b} \right)^4 + B_{21} \left( \frac{z}{b} \right)^3 + C_{21} \left( \frac{z}{b} \right)^2 + D_{21} \left( \frac{z}{b} \right) + E_{21} & 0 \leq z \leq 0.5b \\ A_{22} \left( \frac{z}{b} \right)^5 + B_{22} \left( \frac{z}{b} \right)^4 + C_{22} \left( \frac{z}{b} \right)^3 + D_{22} \left( \frac{z}{b} \right)^2 + E_{22} & 0.5b < z \leq b \end{cases} \quad (14)$$

$$F_1 = A_{11} \left( \frac{z}{b} \right)^5 + B_{11} \left( \frac{z}{b} \right)^4 + C_{11} \left( \frac{z}{b} \right)^3 + D_{11} \left( \frac{z}{b} \right)^2 + E_{11} \left( \frac{z}{b} \right) + F_{11} \quad 0 \leq z \leq 0.5b \quad (15)$$

$$F_2 = A_{21} \left( \frac{z}{b} \right)^4 + B_{21} \left( \frac{z}{b} \right)^3 + C_{21} \left( \frac{z}{b} \right)^2 + D_{21} \left( \frac{z}{b} \right) + E_{21} \quad 0 \leq z \leq 0.5b \quad (16)$$

جدول ۱ - ثابت‌های رابطه ۱۳ برای مقطع بهینه ذوزنقه‌ای با  $\theta = 60^\circ$

<b><math>F_{12}</math></b>	<b><math>E_{12}</math></b>	<b><math>D_{12}</math></b>	<b><math>C_{12}</math></b>	<b><math>B_{12}</math></b>	<b><math>A_{12}</math></b>	<b><math>E_{11}</math></b>	<b><math>D_{11}</math></b>	<b><math>C_{11}</math></b>	<b><math>B_{11}</math></b>	<b><math>A_{11}</math></b>	<b><math>F_1</math></b>
-۱۶۶	۱۲۲۲	-۳۵۸۰	۵۱۲۳	-۳۶۳۰	۱۰۲۰	.۹۴	-۱۲	۹۷	-۳۱۶	۳۲۰	روش اول
۴	-۷	.	.	.	.	۲	-۱۷	۱۲۴	۳۳۶	۲۸۲	روش دوم
-۶۱	۳۳۰	-۶۳۶	۵۳۶	-۱۷۰	.	۳	-۲۱	۱۴۱	-۳۰۳	.	روش سوم

جدول ۲- ثابت‌های رابطه ۱۴ برای مقطع بهینه ذوزنقه‌ای با  $\theta = 60^\circ$

E <sub>22</sub>	D <sub>22</sub>	C <sub>22</sub>	B <sub>22</sub>	A <sub>22</sub>	E <sub>21</sub>	D <sub>21</sub>	C <sub>21</sub>	B <sub>21</sub>	A <sub>21</sub>	F <sub>2</sub>
۷	-۱۹	۲۶	-۱۴	۰	۲	-۸	۶۳	-۱۹۴	۱۷۲	روش اول
۱۰	-۵۲	۱۱۸	-۱۰۹	۳۴	۲	-۱۱	۹۰	-۲۷۲	۲۶۰	روش دوم
-۴۹	۲۸۲	-۵۷۲	۵۰۹	-۱۶۹	۲	-۹	۶۱	-۱۳۲	۰	روش سوم

جدول ۳- ثابت‌های رابطه ۱۳ برای مقطع بهینه ذوزنقه‌ای با  $\theta = 45^\circ$

F <sub>12</sub>	E <sub>12</sub>	D <sub>12</sub>	C <sub>12</sub>	B <sub>12</sub>	A <sub>12</sub>	E <sub>11</sub>	D <sub>11</sub>	C <sub>11</sub>	B <sub>11</sub>	A <sub>11</sub>	F <sub>1</sub>
۰	۶	-۱۰	۳	۰	۰	۲	-۱۴	۶۸	-۱۷۲	۱۳۳	روش اول
-۴/۱	۱۸/۹	-۱۴/۶	۲/۹	۰	۰	۴/۲	-۲۴	۱۷۶/۹	-۴۹۴/۴	۴۴۱/۶	روش دوم
-۵/۶	-۳/۴	۲/۳	-۱/۳۵	۰	۰	۵/۲	-۱۵/۴	۲۱/۶	۶۳/۸	-۱۰۶/۷	روش سوم

جدول ۴- ثابت‌های رابطه ۱۴ برای مقطع بهینه ذوزنقه‌ای با  $\theta = 45^\circ$

E <sub>22</sub>	D <sub>22</sub>	C <sub>22</sub>	B <sub>22</sub>	A <sub>22</sub>	E <sub>21</sub>	D <sub>21</sub>	C <sub>21</sub>	B <sub>21</sub>	A <sub>21</sub>	F <sub>2</sub>
۳/۵	-۳/۵	۲/۹	-۱/۱	۰	۲/۸	-۶/۸	۲۶/۱	-۴۴/۸	۰	روش اول
-۵/۶	۳۰/۵	-۴۱/۲	۲۳/۷	-۵/۲	۲/۸	-۱۰/۶	۸۰/۴	-۲۳۷	۲۲۴/۴	روش دوم
-۱/۸	۵/۶	-۱۱/۱	۷/۷	-۲/۱	۲/۸	-۷/۴	۲۲/۶	-۱۵/۸	۰	روش سوم

جدول ۵- ثابت‌های رابطه ۱۳ برای مقطع بهینه ذوزنقه‌ای با  $\theta = 75^\circ$

E <sub>22</sub>	D <sub>22</sub>	C <sub>22</sub>	B <sub>22</sub>	A <sub>22</sub>	E <sub>21</sub>	D <sub>21</sub>	C <sub>21</sub>	B <sub>21</sub>	A <sub>21</sub>	F <sub>2</sub>
۵۸/۱	-۲۹۴/۸	۵۲۳/۶	-۳۱۶/۸	۰	۱/۹	-۱/۷	۲/۶	-۱۲/۴	۰	روش اول
-۶۶۸/۶	۴۹۵۶/۱	-۱۳۷۲۶	۱۶۸۶۹	-۷۷۶۰/۳	۱/۹	-۱	۰	۰	۰	روش دوم
۳۳۳۱/۳	-۲۳۳۴۶	۶۱۰۵۹	-۷۰۵۸۶	۳۰۴۲۷	۲	-۱/۷	-۲/۴	۸/۸	۰	روش سوم

جدول ۶- ثابت‌های رابطه ۱۴ برای مقطع بهینه ذوزنقه‌ای با  $\theta = 75^\circ$

E <sub>22</sub>	D <sub>22</sub>	C <sub>22</sub>	B <sub>22</sub>	A <sub>22</sub>	E <sub>21</sub>	D <sub>21</sub>	C <sub>21</sub>	B <sub>21</sub>	A <sub>21</sub>	F <sub>2</sub>
۵۸/۱	-۲۹۴/۸	۵۲۳/۶	-۳۱۶/۸	۰	۱/۹	-۱/۷	۲/۶	-۱۲/۴	۰	روش اول
-۶۶۸/۶	۴۹۵۶/۱	-۱۳۷۲۶	۱۶۸۶۹	-۷۷۶۰/۳	۱/۹	-۱	۰	۰	۰	روش دوم
۳۳۳۱/۳	-۲۳۳۴۶	۶۱۰۵۹	-۷۰۵۸۶	۳۰۴۲۷	۲	-۱/۷	-۲/۴	۸/۸	۰	روش سوم

جدول ۷- ثابت‌های رابطه ۱۵ برای مقطع بهینه مستطیلی

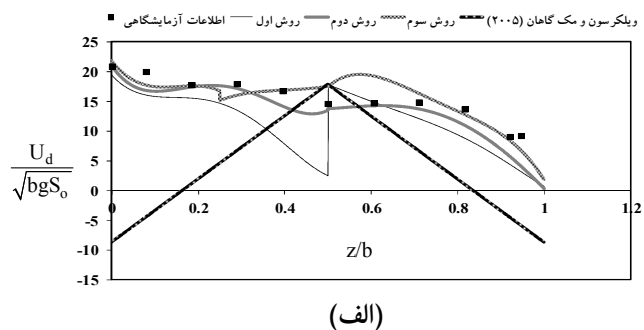
F <sub>11</sub>	E <sub>11</sub>	D <sub>11</sub>	C <sub>11</sub>	B <sub>11</sub>	A <sub>11</sub>	F <sub>1</sub>
۱/۷	-۴/۷	۱۶/۸	-۵۸/۲	۴۳/۹	۰	روش اول
۰/۳۸۱	-۶/۴	۱۱۴/۳	-۸۴۳	۲۳۷۳/۳	-۲۳۲۸/۳	روش دوم
۰/۷	۶/۳	-۴۲/۱	۵۵/۵	۰	۰	روش سوم

جدول ۸- ثابت‌های رابطه ۱۶ برای مقطع بهینه مستطیلی

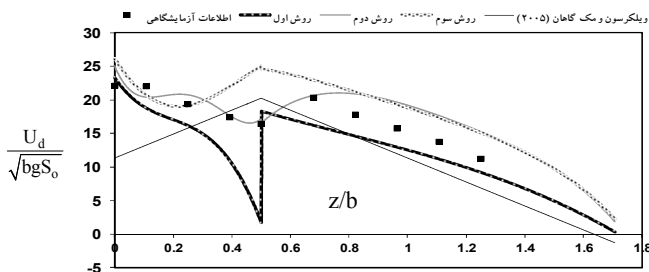
E <sub>21</sub>	D <sub>21</sub>	C <sub>21</sub>	B <sub>21</sub>	A <sub>21</sub>	F <sub>2</sub>
۱/۵	۲/۲	-۱۲/۹	۷/۹	۰	روش اول
۱/۵	۱/۹	-۱۱/۸	۱۲/۹	۰	روش دوم
۱/۵	۴/۱	-۲۷	۳۴/۱	۰	روش سوم

کمتری دارد. همچنین در این روش، اصل عدم لغزش در گوشه انتهای مقطع ارضا نمی‌شود.

روش اول نسبت به دیگر روشها دقت کمتری دارد که دلیل اصلی آن مقدار  $l_{max}$  در هر فاصله مشخص از محور تقارن است. این پارامتر در کلیه مقاطع نامبرده، در محل محور تقارن مقدار مشخصی دارد، ولی در دیگر فاصله‌ها از محور تقارن برای محاسبه آن نیاز است تا منحنی‌های هم سرعت دقيقاً تعیین شوند. مشکل دیگر این روش، پرش ناگهانی است که در محل اتصال کف و دیواره رخ می‌دهد. در این نقطه مقدار  $l_{max}$  متأثر از هر دو ناحیه کف و دیواره است. باید توجه داشت که این پرش در مقطع مستطیلی به دلیل قائم بودن دیواره اتفاق نمی‌افتد. دلیل اصلی مناسب‌تر بودن روش دوم نسبت به دیگر روشها، در نظر گرفتن دو نقطه (یکی نزدیک به کف و دیگری نزدیک به سطح آب) در هر مقطع است. بنابراین در هر مقطع، به شکل بهتری آثار هم زمان کف و دیواره منظور می‌شود.



(الف)



(ب)

شکل ۳- توزیع سرعت متوسط عمقی به سه روش در پژوهش حاضر در مقایسه با اطلاعات آزمایشگاهی و مرجع [۱۶] برای نیمه‌ی سمت راست مقطع بهینه ذوزنقه‌ای با  $\theta=60^\circ$  و  $\theta=45^\circ$

مقایسه نتایج پژوهش ویلکرسون و مک‌گاهان با اطلاعات آزمایشگاهی، نشان می‌دهد که روش ارائه شده سمت راست این محققان برای کanal‌های غیرعريض مناسب نیست. وجود مقادیر منفی در نتایج آنها و همچنین اختلاف زیاد نتایج ایشان با اطلاعات آزمایشگاهی، این مطلب را تأیید می‌کند. دلیل این مسئله این است

### ۳- مدل‌سازی آزمایشگاهی

برای اعتبار بخشیدن به مدل تئوری ارائه شده، آزمایش‌هایی در آزمایشگاه هیدرولیک دانشگاه صنعتی اصفهان انجام گرفت. مدل‌های آزمایشگاهی برای دو کanal ذوزنقه‌ای با  $\theta=60^\circ$  و  $\theta=45^\circ$  درجه ساخته شده و نتایج تئوری با اطلاعات آزمایشگاهی به دست آمده، مقایسه شد. نتایج تئوری مربوط به کanal مستطیلی نیز با اطلاعات آزمایشگاهی پژوهش‌های گذشته مقایسه شد که به دلیل مشابهت نتایج با دو کanal دیگر ارائه نشد.  
[۳]. فلوم آزمایشگاهی که مقاطع ذوزنقه‌ای با  $\theta=45^\circ$  و  $\theta=60^\circ$  درجه در آن نصب شد، کanal مستطیلی با عرض و ارتفاع ۳۰ سانتی‌متر و طول ۸ متر و جنس جداره کanal شیشه‌ای بود. شبکه کanal ۰/۰۰۱ متر تنظیم شد. آب توسط پمپ از مخزن به مدخل ورودی کanal، هدایت می‌شد. در مدخل ورودی کanal، صفحات مشبکی تعییه شده بود تا جریان به حالت غیرآشفته و آرام به کanal وارد شود. در انتهای کanal یک سریز له تیز مثلثی برای اندازه‌گیری دبی جریان تعییه شده بود. آب بعد از عبور از سریز مجدداً به مخزن بازگشته و به این ترتیب جریان یک سیکل بسته را طی می‌کرد.

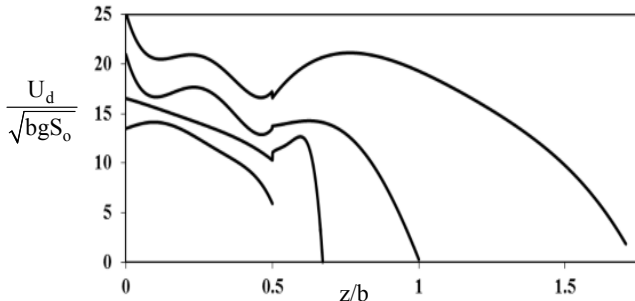
مقطع منتخب برای برداشت اطلاعات، ۴/۸ متری ابتدای کanal در نظر گرفته شد. برای اطمینان از برقراری جریان یکنواخت در این مقطع، پروفیل‌های سرعت در ۵۰ سانتی‌متر قبل و بعد از این مقطع به دست آمد و از مشابه بودن پروفیل‌های سرعت در این دو مقطع و مقطع آزمایش‌ها و نیز مشابه بودن با پروفیل لگاریتمی سرعت نتیجه‌گیری شد که مقطع منتخب برای برداشت اطلاعات مناسب است. در آزمایش‌های انجام شده، از لوله پیتوت استاتیک<sup>۱</sup> یک بعدی برای اندازه‌گیری بهینه ذوزنقه‌ای طولی استفاده شده است. سپس از سرعت‌های نقطه‌ای در عمق روی هر فاصله مشخص در آن نقطه منظور و با نتایج تئوری مقایسه شد.

### ۴- نتایج و بحث

شکل‌های ۳-الف و ۳-ب نتایج حاصل از سه روش نامبرده را در مقایسه با اطلاعات آزمایشگاهی و روش ویلکرسون و مک‌گاهان برای نیمه سمت راست مقطع بهینه ذوزنقه‌ای با  $\theta=60^\circ$  و  $\theta=45^\circ$  نشان می‌دهند. از مقایسه این روشها با اطلاعات آزمایشگاهی می‌توان قضاویت کرد که روش دوم از دقت مناسب‌تری نسبت به دیگر روشها برخوردار است. روش سوم در مرتبه دوم قرار می‌گیرد که به دلیل استفاده از یک نقطه به جای دو نقطه از روش دوم دقت

<sup>1</sup> Static pitot tube

نقشه برداری استفاده شود. شکل ۴ توزیع سرعت متوسط عمقی را برای گوش سمت راست کلیه مقاطع نام برده به روشن دوم نشان می دهد.



شکل ۴ - توزیع سرعت متوسط عمقی به روشن دوم برای نیمه سمت راست مقاطع بهینه ذوزنقه ای و مستطیلی

##### ۵- نتیجه گیری

در این تحقیق، توزیع سرعت متوسط عمقی با استفاده از منحنی لگاریتمی سرعت و مزهای فرضی جدا کننده کف از دیواره، به سه روش برای چهار مقاطع بهینه ذوزنقه ای و مستطیلی به دست آمد. هر سه روش بر پایه رابطه لگاریتمی سرعت هستند. در روش اول، از انگرال این رابطه روی عمق در هر فاصله مشخص از مبدأ استفاده می شود. در روش دوم، از میانگین گیری سرعت های نقطه ای روی اعماق  $2H/0.8$  و  $0/H$  بهره گیری می شود و در روش سوم، در هر فاصله مشخص از مبدأ، سرعت نقطه ای  $H/6$  منظور می شود. منحنی های به دست آمده با اطلاعات آزمایشگاهی و پژوهش ویلکرسون و مک گاهان در سال ۲۰۰۵ مقایسه شد. نتایج حاصل از روش اول به دلیل نامشخص بودن وضعیت سرعت بیشینه در مقاطع غیر از محور تقارن، دقت کمتری داشت. روش سوم دقت بهتری نسبت به روش اول داشت، ولی این روش، شرط عدم لغزش را در نقطه انتهای خود که به جداره متصل می شود، ارضا نمی کند. نتایج حاصل از روش دوم نسبت به روشهای دیگر بهتر بود که دلیل آن، متأثر بودن کلیه مقاطع از آثار همزمان کف و دیواره است. در این روش مقدار متوسط سرعت های نقطه ای در عمقهای  $2H/0.8$  و  $0/H$  در هر مقطع (فاصله مشخص از مبدأ)، محاسبه و به عنوان سرعت متوسط عمقی روی آن منظور می شود. پس از آنالیز حساسیت مشخص شد که یکی از علل مهم تفاوت نتایج تئوری با اطلاعات آزمایشگاهی، تنظیم دقیق شیب در فلوم آزمایشگاهی است. نتایج حاصل از پژوهش ویلکرسون و مک گاهان نشان می دهد که رابطه پیشنهادی آنها برای مقاطع غیر عرضی مناسب نیست.

که آنها در روش خود، پارامترهای مربوط به رابطه پیشنهادی را با اطلاعات میدانی کانال های عرضی و اسنجری کردند، در حالی که در کانال عرضی، مدل جریان های ثانویه با کانال های غیر عرضی، کاملاً متفاوت است. باید توجه داشت که مقطع بهینه ذوزنقه ای با  $45^\circ$  به دلیل شرایط هندسی که بهترین مقطع هیدرولیکی به آن تحمیل می کند، دارای سطح آزاد بزرگ تری است و مشابهت بیشتری با شرایط کانال های عرضی پیدا می کند. بنابراین روش ویلکرسون و مک گاهان روی این مقطع جوابه ای بهتری دارد که این مطلب به خوبی در شکل ۳-ب نمایان است.

به دلیل مناسب تر بودن روش دوم نسبت به بقیه روشها، توابع خطای  $^1\text{NRMSE}$ ،  $^2\text{R}^2$  و  $^3\text{WQD}$  برای روش دوم نسبت به اطلاعات آزمایشگاهی محاسبه شد که این مقادیر به ترتیب در حدود  $0.19/0.0$  و  $0.94/0.0$  به دست آمد که حاکی از دقت مناسب روش دوم است. توابع خطای نام برده به شکل زیر تعریف می شوند

$$\text{NRMSE} = \sqrt{\frac{\sum [f(x) - F(x)]^2}{\sum [f(x) - \bar{f}(x)]^2}} \quad (17)$$

$$\text{WQD} = \sqrt{\frac{\sum [f(x)F(x)[f(x) - F(x)]^2]}{\sum [f(x)F(x)]}} \quad (18)$$

$$R^2 = 1 - \frac{\sum [f(x) - F(x)]^2}{\sum [f(x) - \bar{f}(x)]^2} \quad (19)$$

که در این روابط

$f(x)$ ،  $\bar{f}(x)$  و  $F(x)$  به ترتیب داده های اندازه گیری شده آزمایشگاهی، مقادیر میانگین آنها و مقدارهای تخمین زده شده تئوری هستند. با وجود نزدیکی روند اطلاعات به نتایج تئوری لازم است برای پارامترهای مؤثر بر نتایج آنالیز حساسیت انجام شود. به این شکل که با دیفرانسیل گیری از رابطه های ارائه شده و وارد کردن مقدار خطای اندازه گیری هر پارامتر می توان تعیین نمود که نتایج به اندازه گیری دقیق کدام پارامتر حساس تر هستند و خطای احتمالی می تواند ناشی از اندازه گیری چه پارامتری باشد. با آنالیز حساسیت رابطه های تنش برشی و توزیع سرعت متوسط عمقی مشخص شد که هنگام بی بعدسازی با تغییر  $2$  تا  $3$  درصدی شیب کف کanal، نتایج تا  $4$  درصد تغییر می یابد. بنابراین در محاسبه شیب کanal باید بسیار دقت شود و مخصوصاً برای تنظیم و تعیین شیب کanal های آزمایشگاهی با طول کوتاه از دوربین های دقیق

<sup>1</sup> Normalized Root Mean Square Error

<sup>2</sup> Weighted Quadratic Deviation

<sup>3</sup> Residential Coefficient

- 1- Ghosh, S.N., and Roy, N. (1970). "Boundary shear distribution in open channel flow." *J. Hyd. Div.*, 96(4), 967-994.
- 2- Knight, D.W., AlHamid, A.A.I., and Yuen, K.W.H. (1992). "Boundary shear in differentially roughened trapezoidal channels." Falconer, K., and Shiono, R.G.S. (Eds.) *Hydraulic and environmental modeling: Estuarine and river waters*.
- 3- Tominaga, A., Nezu, I., Ezaki, K., and Nakagawa, H. (1989). "Three-dimensional turbulent structure in straight open channel flows." *J. Hyd. Res.*, 27(11), 149-173.
- 4- Guo, J., and Julien, P.Y., (2001). "Turbulent velocity profiles in sediment laden flows." *J. Hyd. Res.*, 39, (1), 11-23.
- 5- Guo, J., and Julien, P.Y. (2005). "Shear stress in smooth rectangular open-channel flows." *J. Hydr. Eng.*, 131(1), 30-37.
- 6- Riahi Modvar, H., and Ayyoubzadeh, S. A. (2008). "Estimating longitudinal dispersion coefficient pollutants using adaptive neuro-fuzzy inference system." *J. Water and Wastewater*, 67, 34-47 (In Persian).
- 7- Farshi, F. (2011). "Depth-averaged velocity and boundary shear stress in channels with the best trapezoidal and rectangular hydraulic sections using conformal mapping method." MSc. Thesis, Isfahan University of Technology, Isfahan. (In Persian)
- 8- Farshi, F., Kabiri- Samani, A. R., and Chamani, M. R. (2011). "Mean bed and side-wall shear stress on smooth trapezoidal open channels with the best hydraulic sections using conformal mapping method." *6<sup>th</sup> National Congress on Civil Engineering*, University of Semnan, Semnan, Iran. (In Persian)
- 9- Sooky, A.A. (1969). "Longitudinal dispersion in open channels." *J. Hydr. Div.*, 95 (4), 1327-1346.
- 10- Wark, J.B., Samuels, P.G., and Ervine, D.A. (1990). "A practical method of estimating velocity and discharge in a compound channel." White, W.R. (Ed.,) *River Flood Hydraulics*, Wiley, New York.
- 11- Seo, I.W., and Baek, K.O. (2004). "Estimation of the longitudinal dispersion coefficient using the velocity profile in natural streams." *J. Hyd. Eng.*, 130(3), 227-236.
- 12- Shiono, K., and Knight, D.W. (1988). "Two-dimensional analytical solution for a compound channel." *Proc., 3<sup>rd</sup> Int. Symp. on Refined Flow Modeling and Turbulence Measurements*, Tokyo, Japan.
- 13- Shiono, K., and Knight, D.W. (1991). "Turbulent open-channel flows with variable depth across the channel." *J. Fluid Mech.*, 222, 617-646.
- 14- Ervine, D.A., Babaeyan-Koopaei, K., and Sellin, R.H.J. (2000). "Two dimensional solution for straight and meandering over bank flows." *J. Hyd. Eng.*, 126(9), 653-669.
- 15- Maghrebi, M.F. (2003). "Discharge estimation in flumes using a new technique for the production of isovel contours." *Proceeding of International Conference on Civil and Environment Engineering ICCEE*, Hiroshima, Japan, 147-156.
- 16- Wilkerson, G.V., and McGahan, J.L. (2005). "Depth-averaged velocity distribution in straight trapezoidal channels." *J. Hyd. Eng.*, 131(6), 509-512.
- 17- Knight, D.W., Omran, M., and Tang, X. (2007). "Modeling depth-averaged velocity and boundary shear in trapezoidal channels with secondary flows." *J. Hydr. Eng.*, 133(1), 39-47.
- 18- Tang, X., and Knight, D.W. (2008). "A general model of lateral depth-averaged velocity distributions for open channel flows." *J. Advances in Water Resources*, 31, 846-857.
- 19- Rezaei, B., and Knight, D.W. (2009). "Application of the Shiono and Knight method in compound channels with non-prismatic floodplains." *J. Hyd. Res.*, 47(6), 716-726.
- 20- Givehchi, M., and Maghrebi, M.F. (2009). "Estimation of depth-averaged velocity and boundary shear stress in a triangular open channel." *J. Water and Wastewater*, 2, 71-80. (In Persian)
- 21- Givehchi, M., Maghrebi, M.F., and Abrishami, J. (2009). "Application of depth-averaged velocity profile for estimation of longitudinal dispersion in rivers." *J. Water and Wastewater*, 72, 91-96. (In Persian)
- 22- Lundgren, H., and Jonsson, I.G. (1964). "Shear and velocity distribution in shallow channels." *J. Hyd. Div.*, 90(1), 1-21.
- 23- Einstein, H. A. (1942). "Formulas for the transformation of bed-load." *Trans. ASCE*, 107, 561-597.
- 24- Chiu, C.L., and Chiou, J.D. (1986). "Structure of 3-D flow in rectangular open-channels." *J. Hyd. Eng.*, 112(11), 1050-1068.
- 25- Chamani, M.R., Dehghani, A.A., Beirami, M.K., and Gholipoor, R.A. (2010). *Fluid Mechanics*, Isfahan University of Technology., Isfahan. (In Persian)
- 26- Yang, S.Q. (2010). "Depth-averaged shear stress and velocity in open channel flows." *J. Hyd. Eng.*, 136 (11) 952-958.